

Rétrécissement aortique : diagnostic positif et de sévérité

- **Place prépondérante de l'écho depuis 1985**
- **L'écho permet d'assurer un bilan complet :**
 - **Diagnostic positif et étiologique**
 - **Quantification**
 - **Retentissement : fonction VG, HTAP**
 - **Valvulopathies associées**

I - Technique d'examen

- **Voie PSG grand axe**
 - sigmoïdes
 - diamètre de la ch de ch, et diamètre de l'anneau
 - Diamètre de l'aorte ascendante
- **Voie PSG petit axe**
 - sigmoïdes : diagnostic étiologique
- **Voie apicale**
 - vitesse trans sténotique (pédoff)
 - vitesse ds la ch de ch
- **Voie PSD**
 - vitesse trans sténotique

II - Diagnostic positif et étiologique

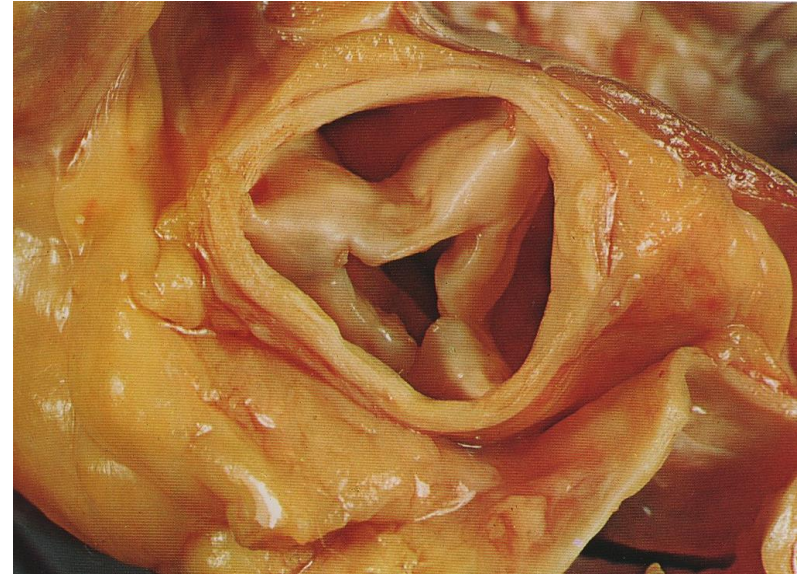
- **Diagnostic positif : TM et 2D**
 - **Valve épaissie, calcifiée**
 - **Mobilité diminuée**
- **Diagnostic étiologique en PSG petit axe**
 - **Monckeberg**
 - **Bicuspidie**
 - **RAA**
 - **RA congénital**

Ces signes ne permettent pas toujours de différencier formellement sclérose aortique de RA

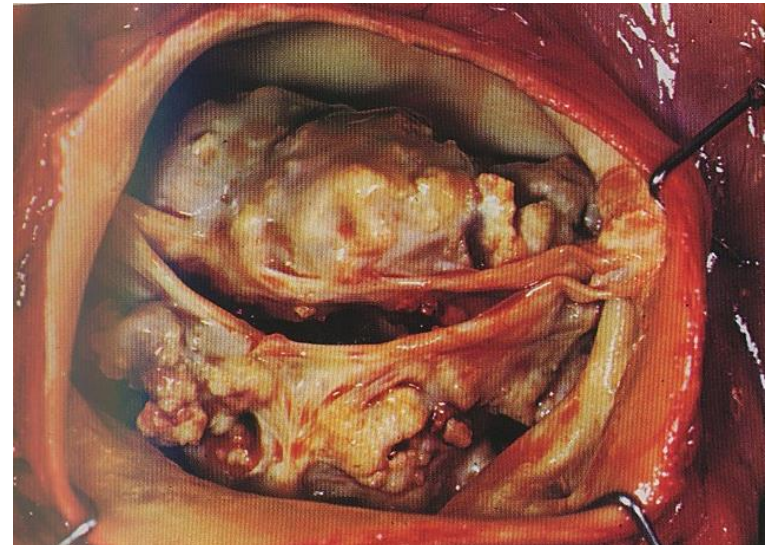
Valve normale
Surface = 3 à 4 cm²



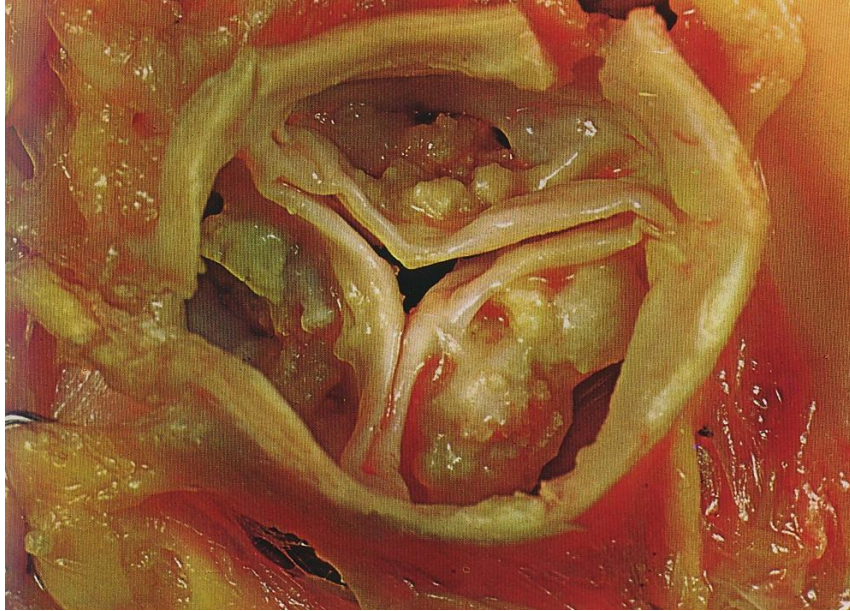
RAA



Bicuspidie



Maladie de Monckeberg : 45% des cas

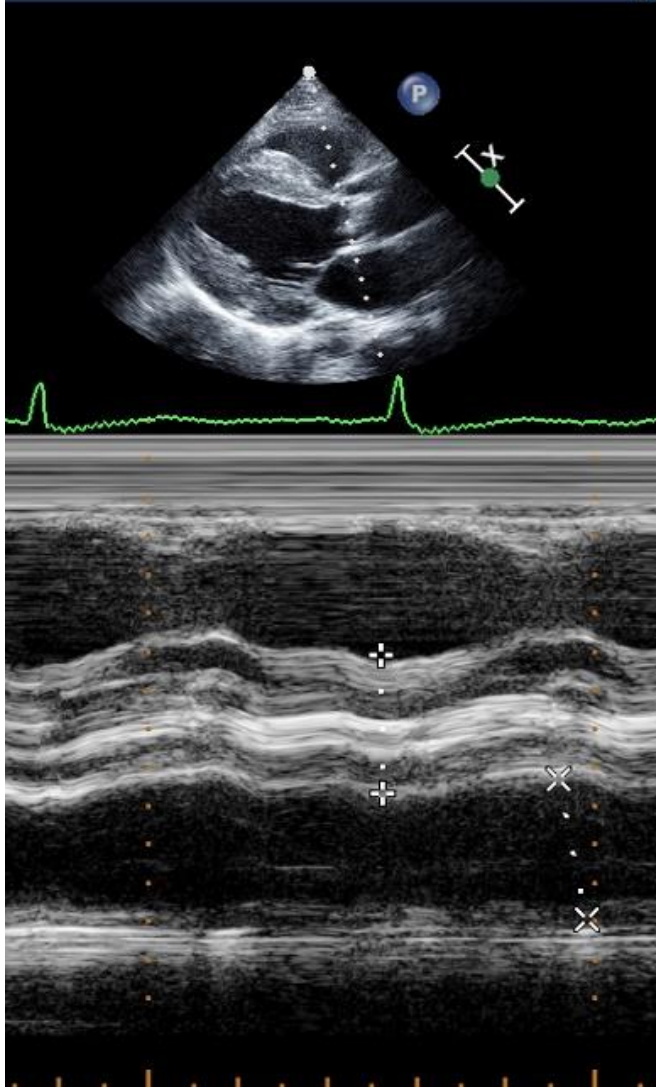


Processus inflammatoire chronique

- dépôt sous endothélial de lipoprotéines
 - fibrose
 - infiltrat inflammatoire
 - Anomalies du métabolisme calcique
 - Anomalies des protéines régulant la fixation du Ca^{++} (ostéopontine)
- **Facteurs favorisants : âge, HTA,athérosclérose**

10/09/20

rdiologi

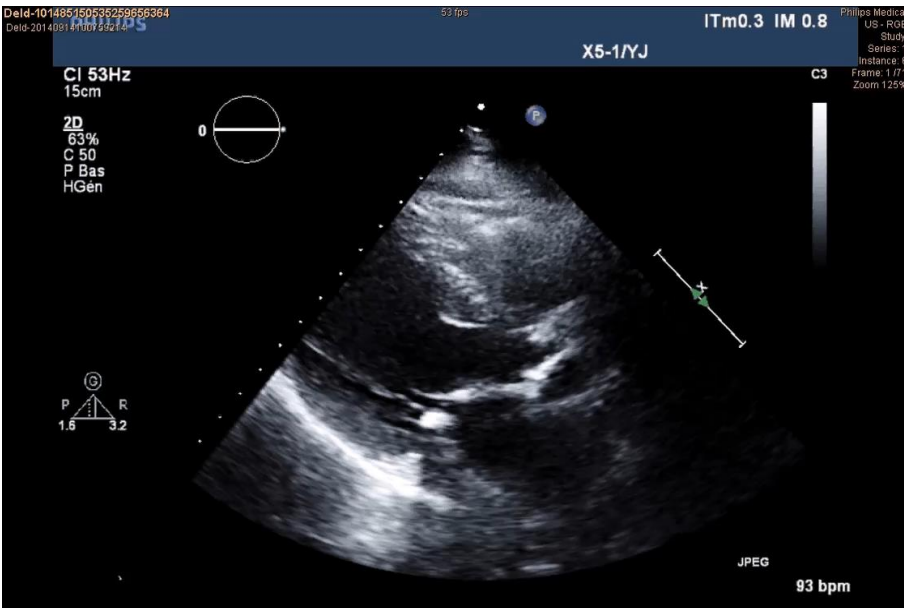


T.M.

- **Epaississement des sigmoïdes**
- **Diminution de l' espace intersigmoïdien (boutonnière)**
- **Echo stratifiées : signe de GRAMIAK**

1 - Maladie de Monckeberg

- Aspect écho :
 - Épaississement des sigmoïdes
 - mobilité diminuée
 - calcifications
- extension de la base vers le bord libre
- Fusion commissurale n'est pas la règle



Deld-101485150535259656364
Deld-20140914100759214

50 fps

ITm0.3 IM 1.1

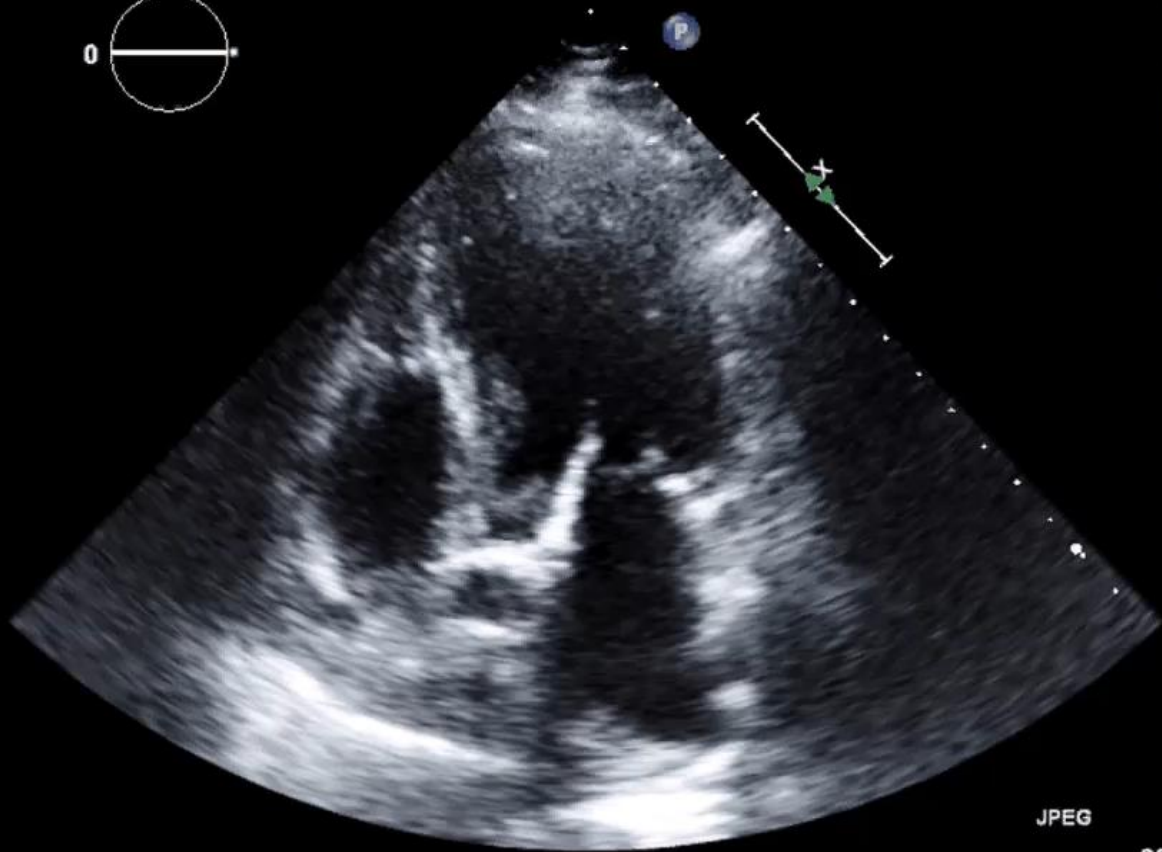
Philips Medical
US - RGB
Study:
Series: 1
Instance: 29
Frame: 1 / 86
Zoom 125%

X5-1/YJ

CI 50Hz
17cm

C3

2D
72%
C 50
P Bas
HGén



JPEG

96 bpm

Deld-101485150535259656364
Deld-20140914100759214

53 fps

ITm0.3 IM 0.8

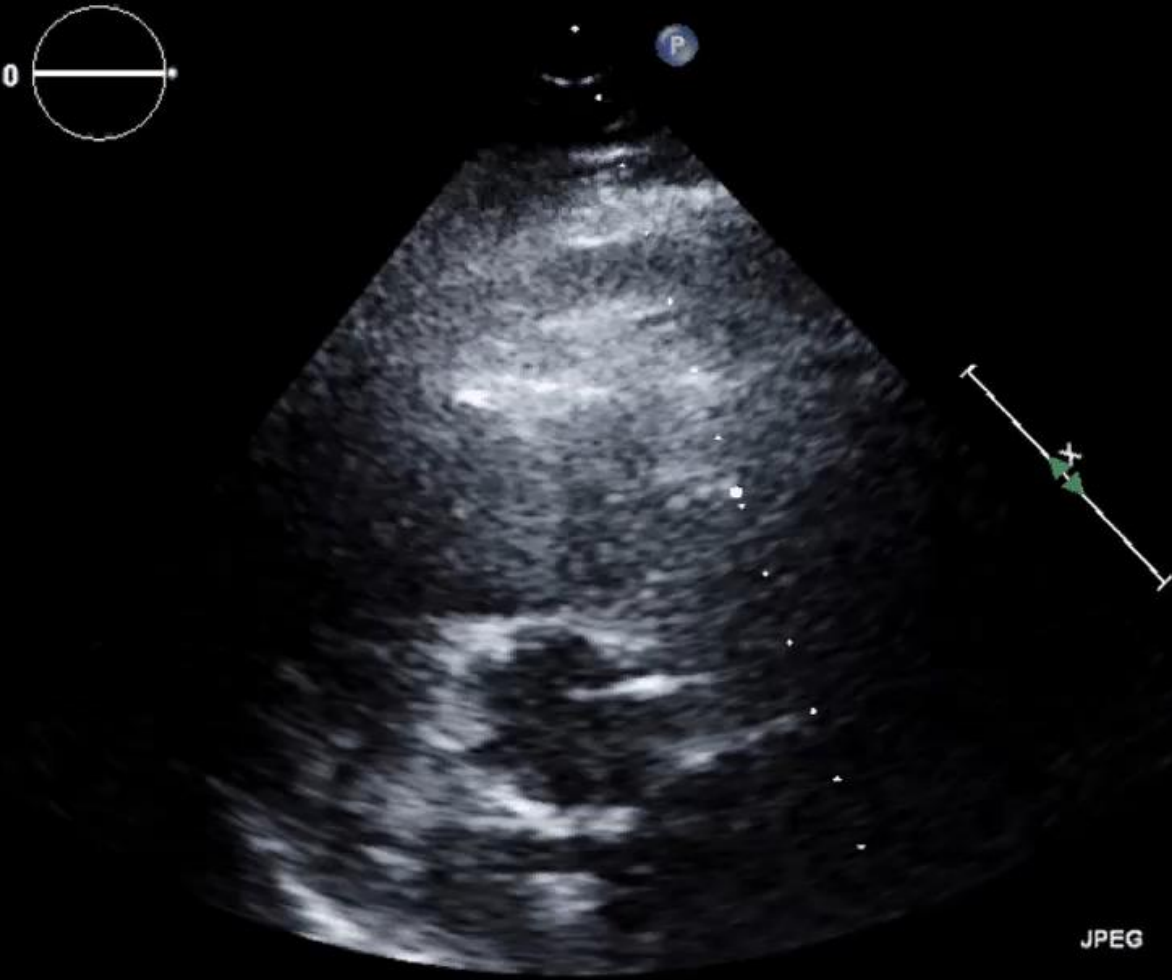
Philips Medical
US - RGB
Study:
Series: 1
Instance: 10
Frame: 1 / 72
Zoom 125%

X5-1/YJ

CI 53Hz
13cm

C3

2D
61%
C 50
P Bas
HGen



JPEG

88 bpm

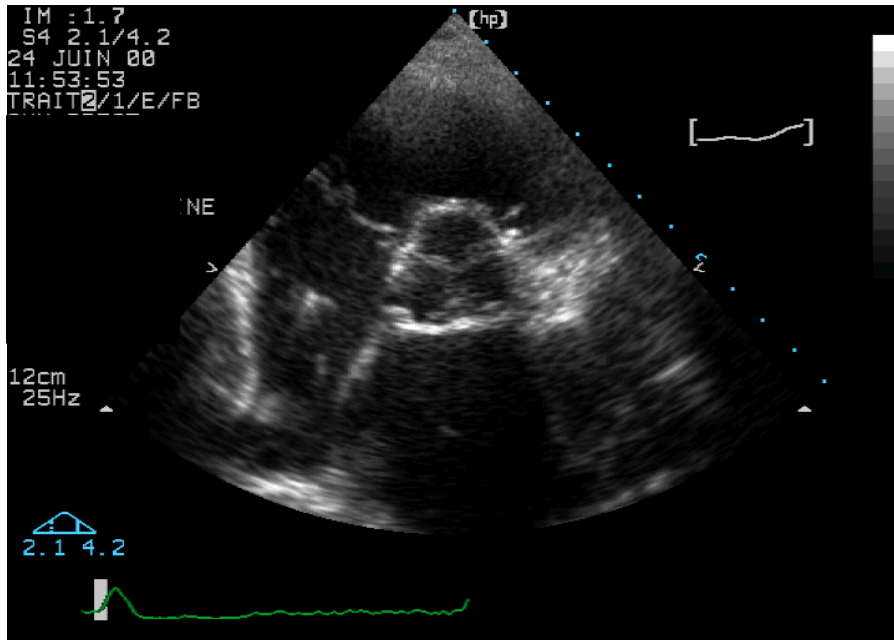
2 - Bicuspidie

- épaissement
- mobilité diminuée
- calcifications secondaires
- 2 valves droites et G ou ant et post, raphé médian
- Dilatation fréquente de l'aorte



3 - R.A.A.

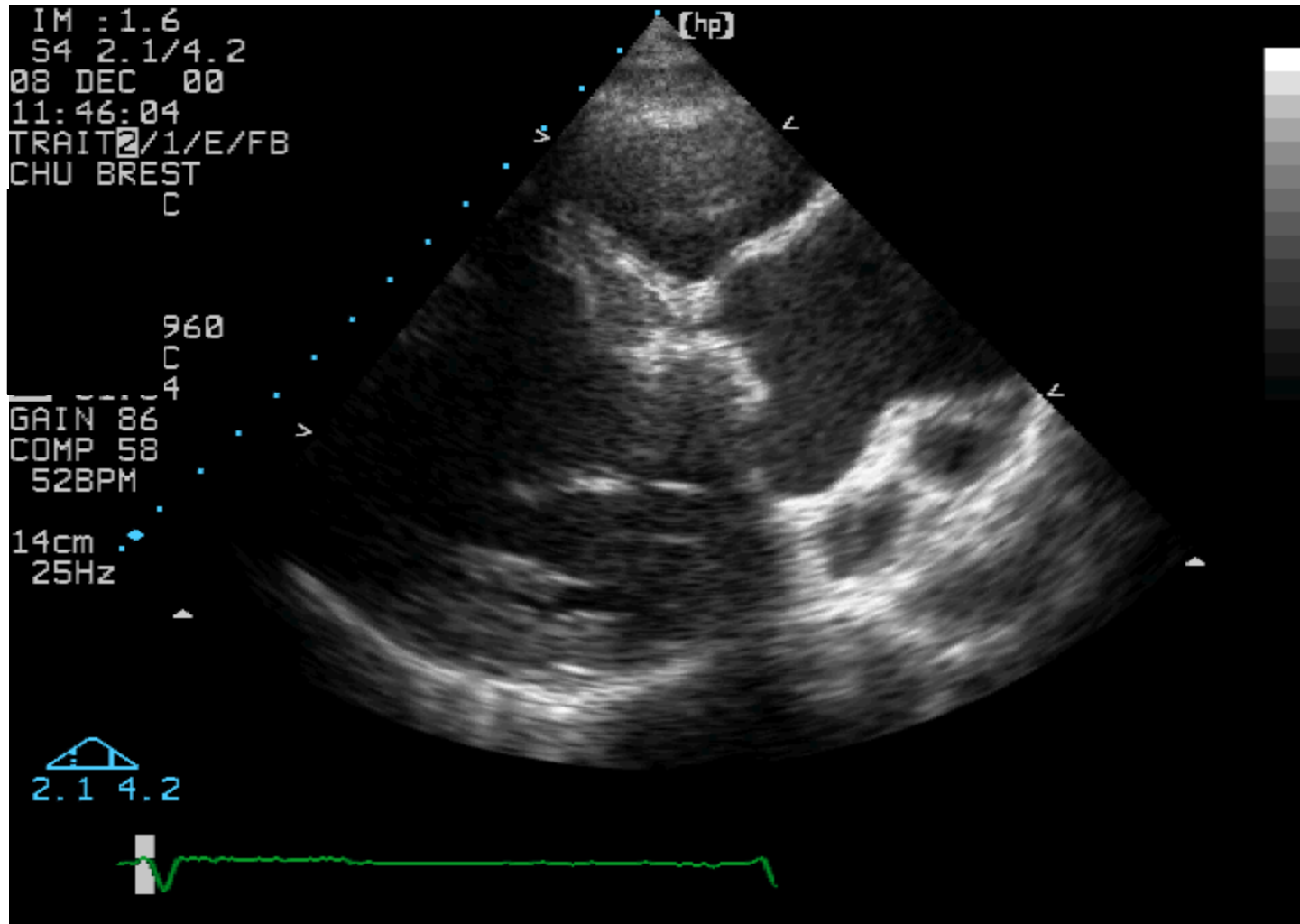
- Aspect écho idem à l'aspect anatomique
 - adhésion (symphyse) commissurale
 - épaissement
 - rétraction : pertuis central de forme variable
 - mobilité diminuée
 - calcifications secondaires
- IA associée, RA souvent prédominant



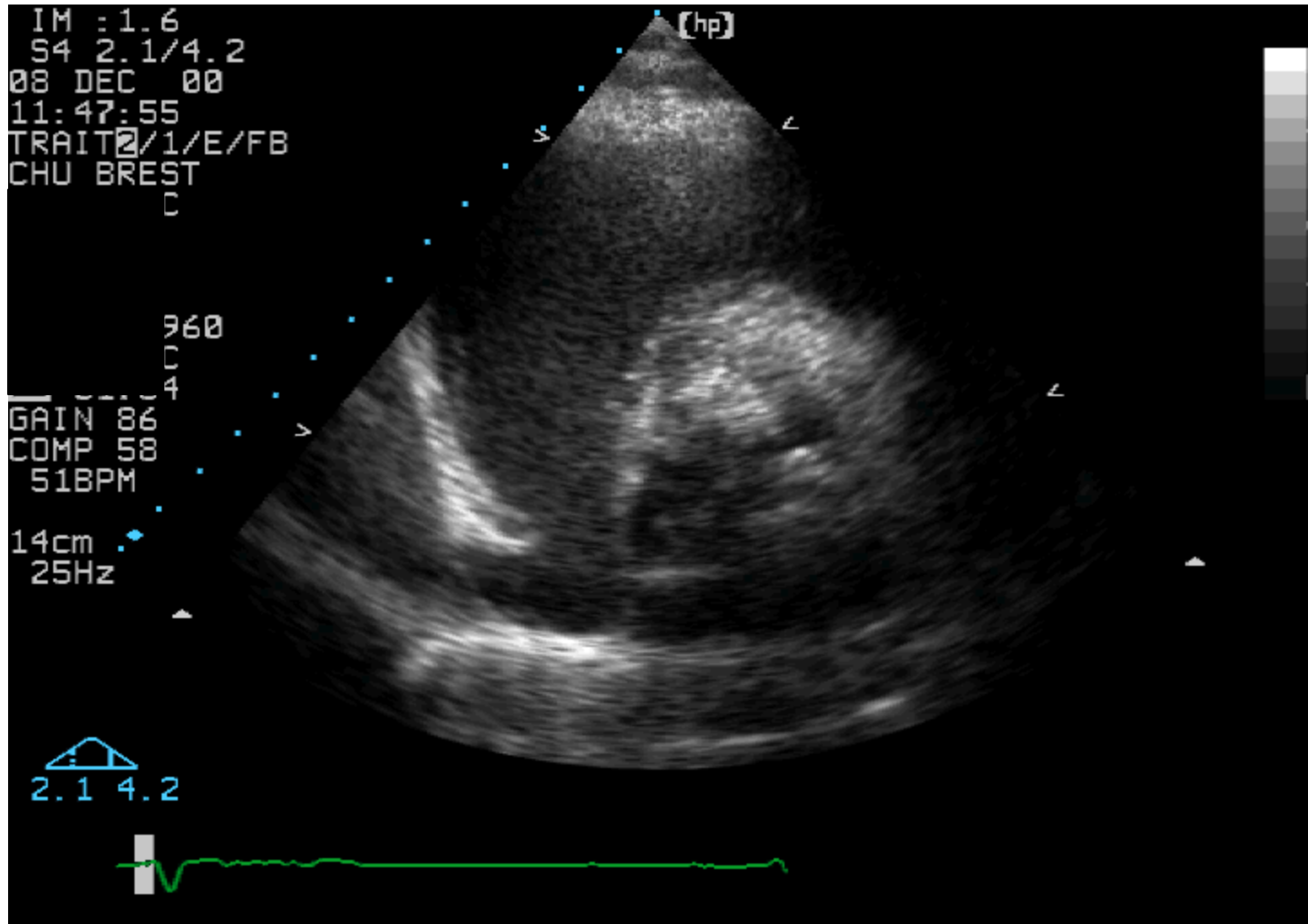
4 - Sténoses congénitales

- **Valves anormales à la naissance**
 - **unicommisurale**
- **aspect écho**
 - **épaississement**
 - **aspect en dome (grand axe)**
 - **nb. de sigmoïde (petit axe)**
 - **mobilité diminuée**
 - **calcification avec l'âge**
- **Diagnostic difficile à un âge avancé**

RA congénital PSG grand axe



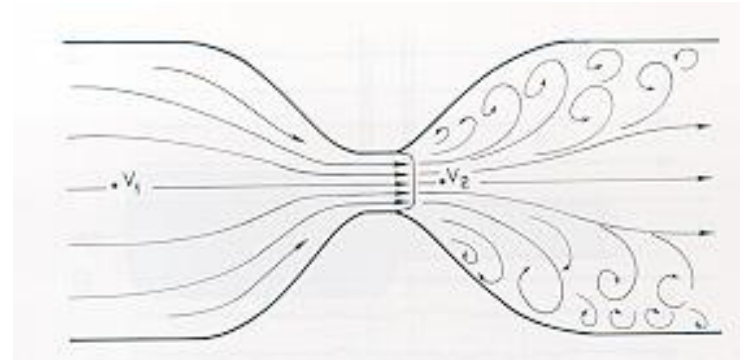
RA congénital PSG petit axe



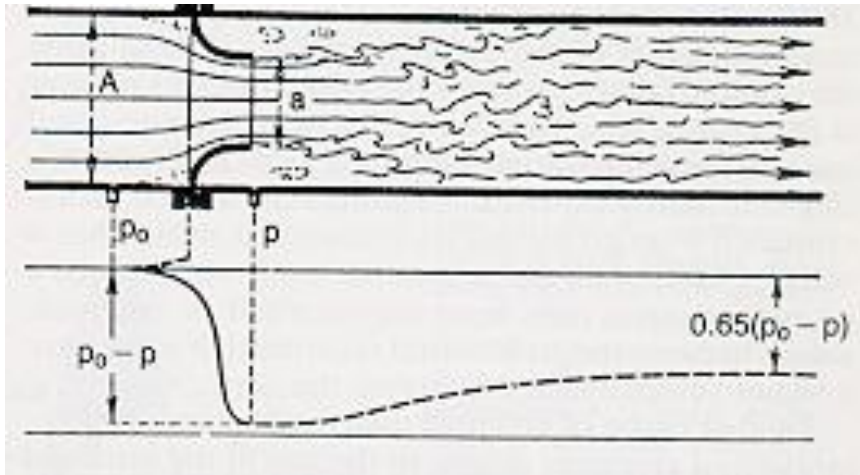
Diagnostic positif en doppler

La chute de pression est liée à :

- La perte d'énergie due à la sténose
- en aval du rétrécissement il y a dissipation de l'énergie cinétique (en raison de turbulences) et absence de reconstitution de la pression d'où présence d'un gradient reflète de la perte de charge
- **V max > 2 m/sec**
- Sclérose valvulaire :
 - Épaississement valvulaire focal
 - Surbrillances
 - Excursion valvulaire conservée
 - **V Max < 2 m/sec**

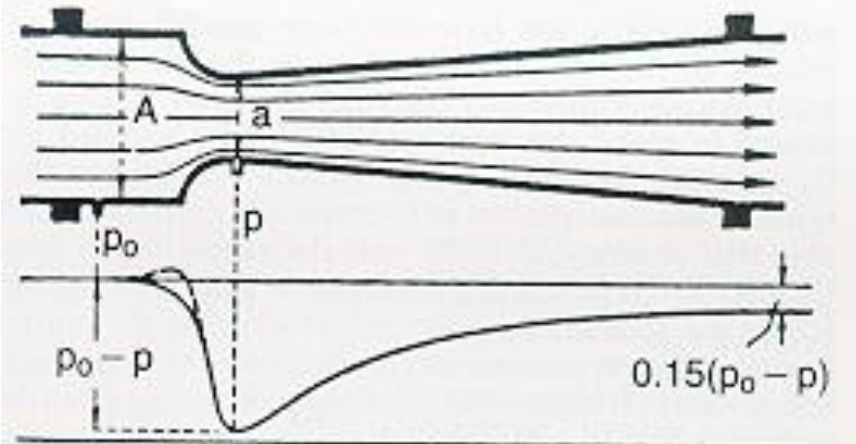


Phénomène de restitution de pression



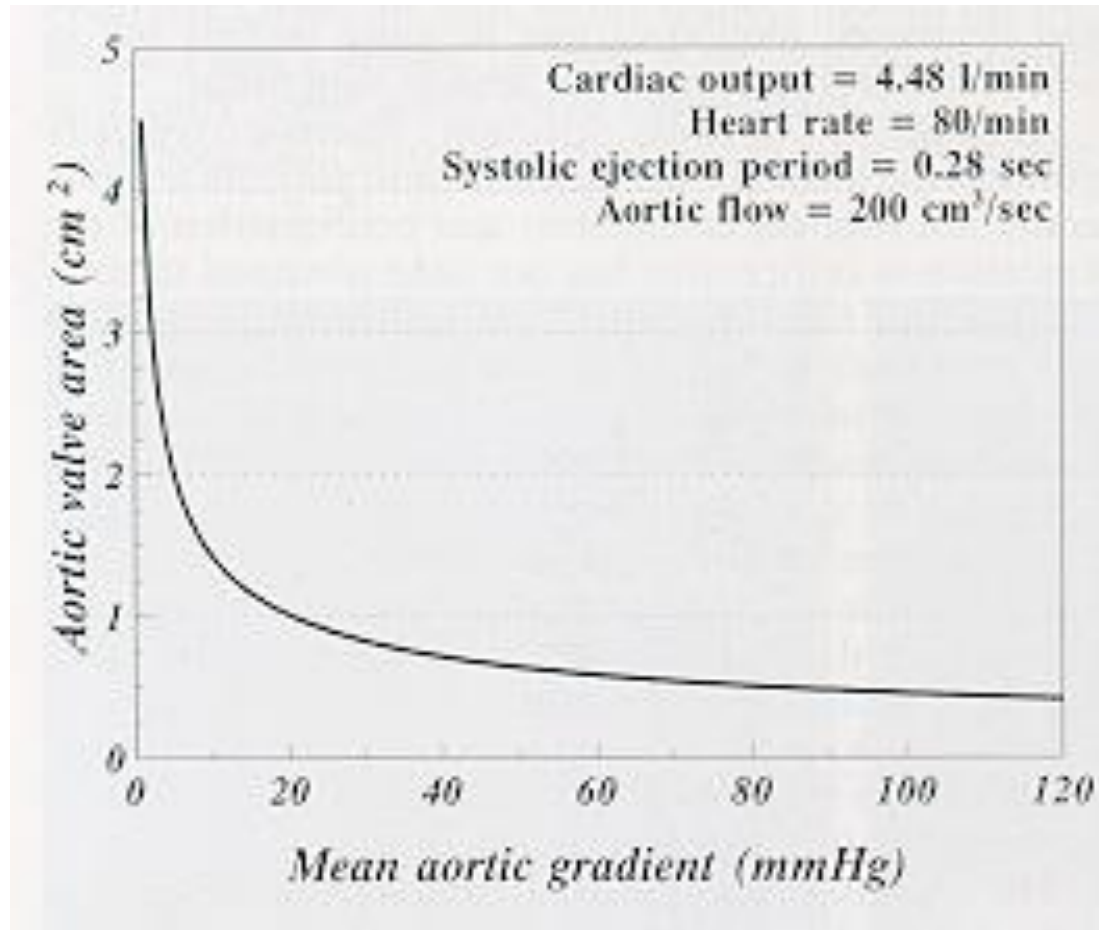
Ajutage

- phénomène rare
- aorte < 30 mm
- plutôt quand valve mécanique



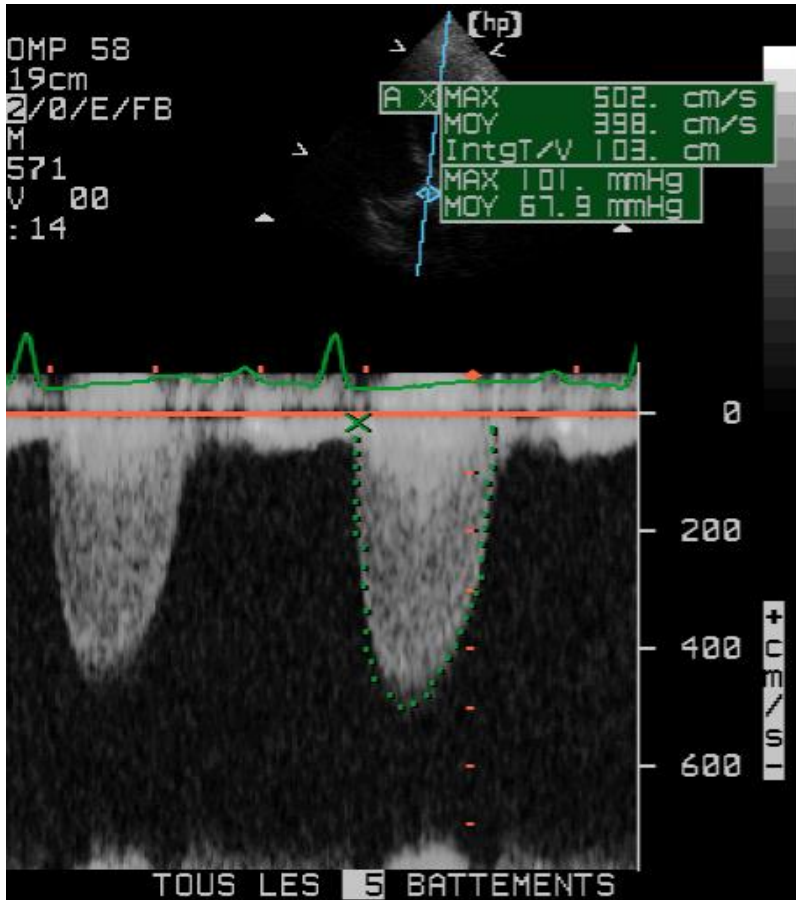
Tube de VENTURI

Relation gradient moyen-surface

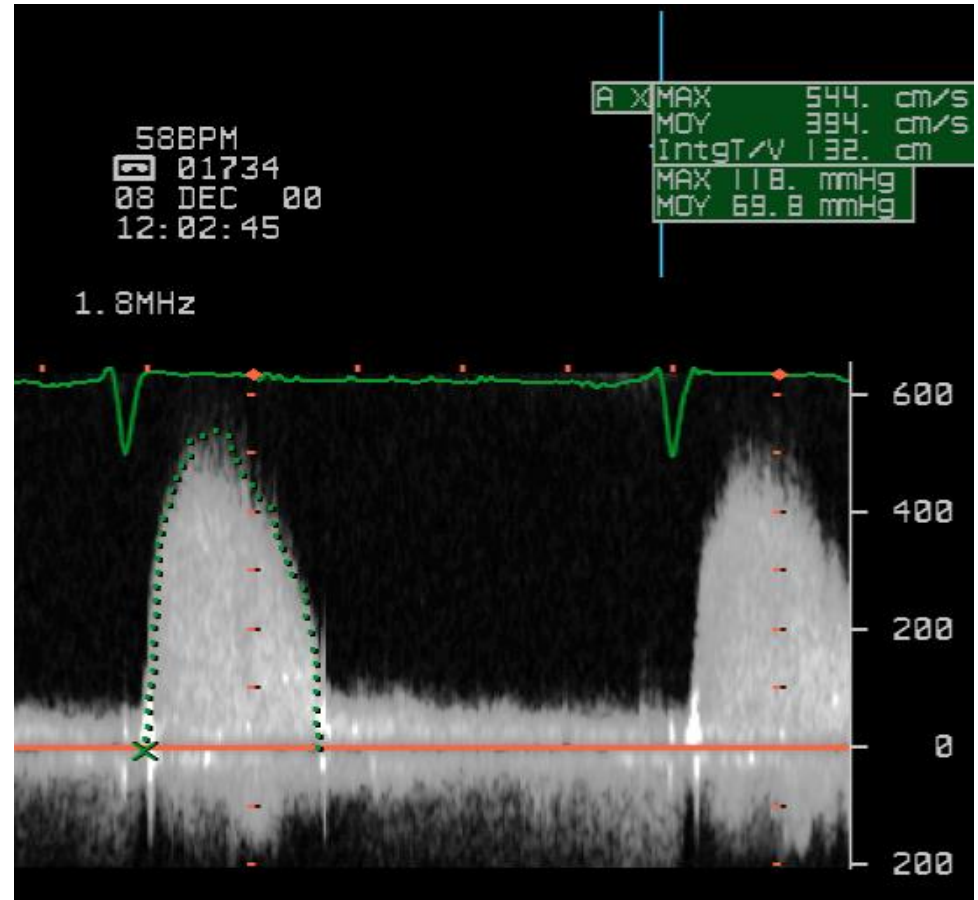


RAO hémodynamiquement significatif (SAO \searrow 75%)

Flux de RAC



Voie apicale

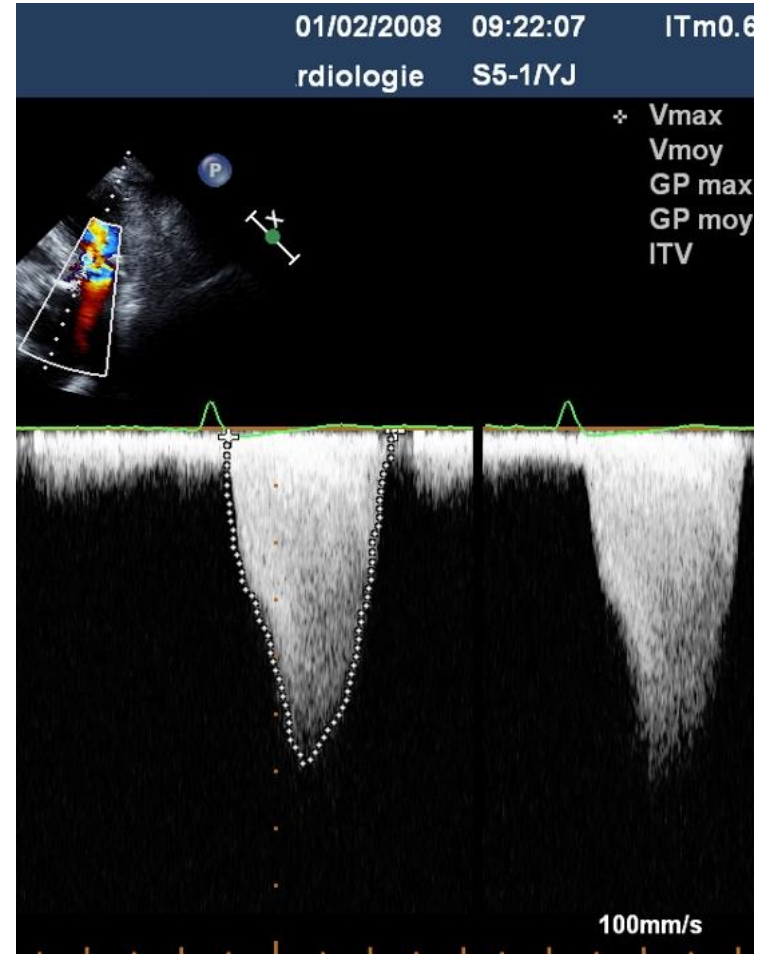
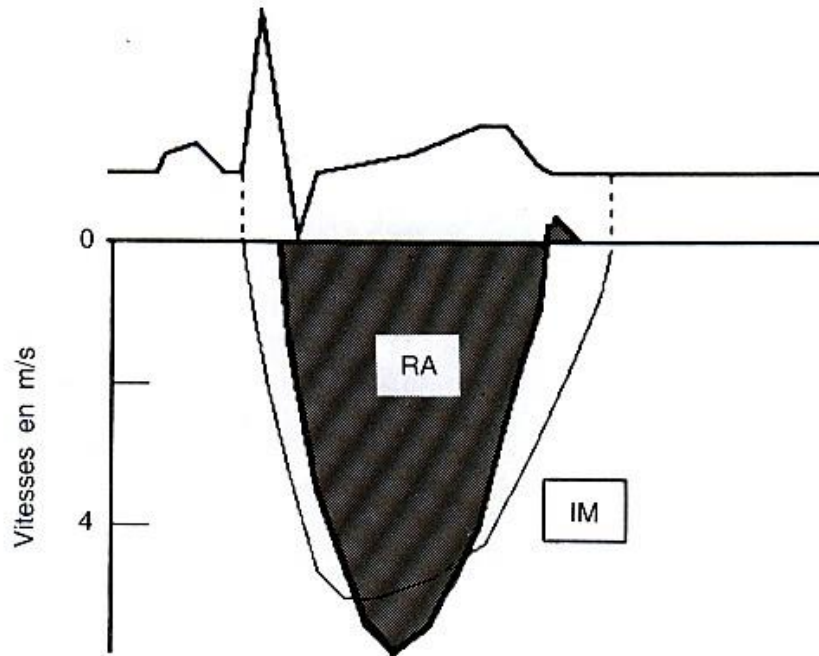


et parasternale droite

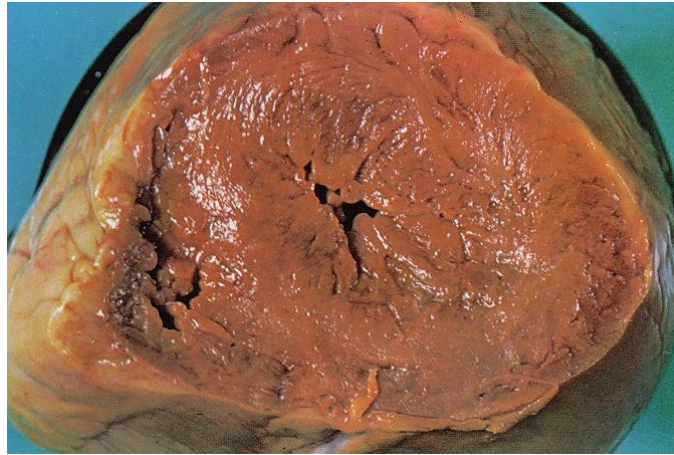
Différences entre un flux de RAC et d'autres flux

- **IM : Flux plus long, continuité avec le flux mitral, débute ds le QRS, plusieurs sites d'enregistrement**
- **IT : vitesse plus basse, idem à l'IM**
- **FOD : Flux en faucille à pic tardif**
- **Utiliser la sonde triplex**
- **Passer d'un flux à l'autre**

Différence entre RA, IM et obstruction



III - Retentissement



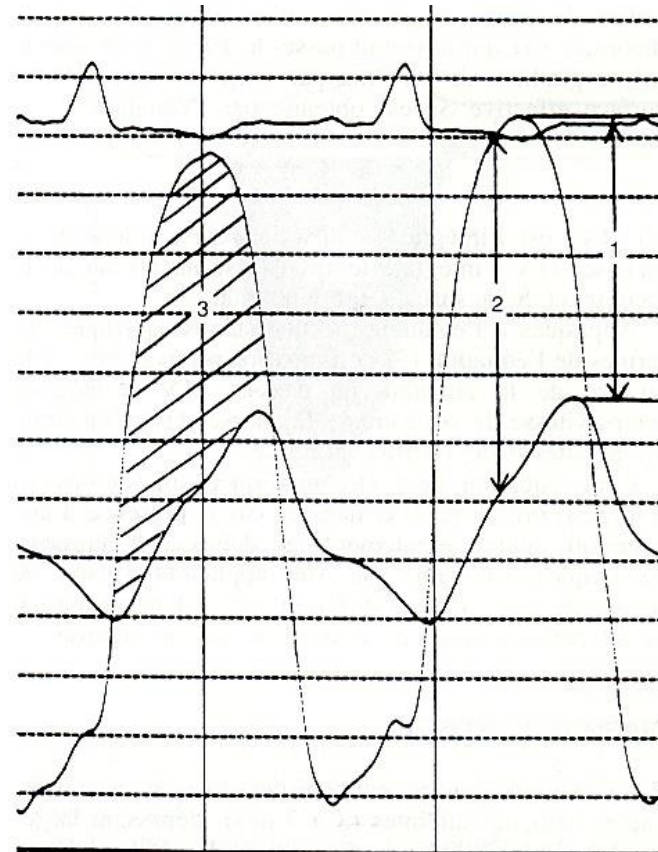
- HVG définie par l'augmentation de la masse VG
Absente dans 10 % des cas
- Dysfonction diastolique et systolique
- IM fctnelle, Dilatation OG, HTAP
- Dilatation de l'aorte ascendante (bicuspidie)

IV - Quantification

- **TM = 0**
- **Bidimensionnel = 0**
- **Doppler = référence**
 - Gradients
 - Équation de continuité
 - Indice de perméabilité
- **ETO = planimétrie quand échec du doppler**
 - Mauvaises conditions
 - $V_{max} > 1.5$ m/sec dans la chambre de chasse

A - Gradients

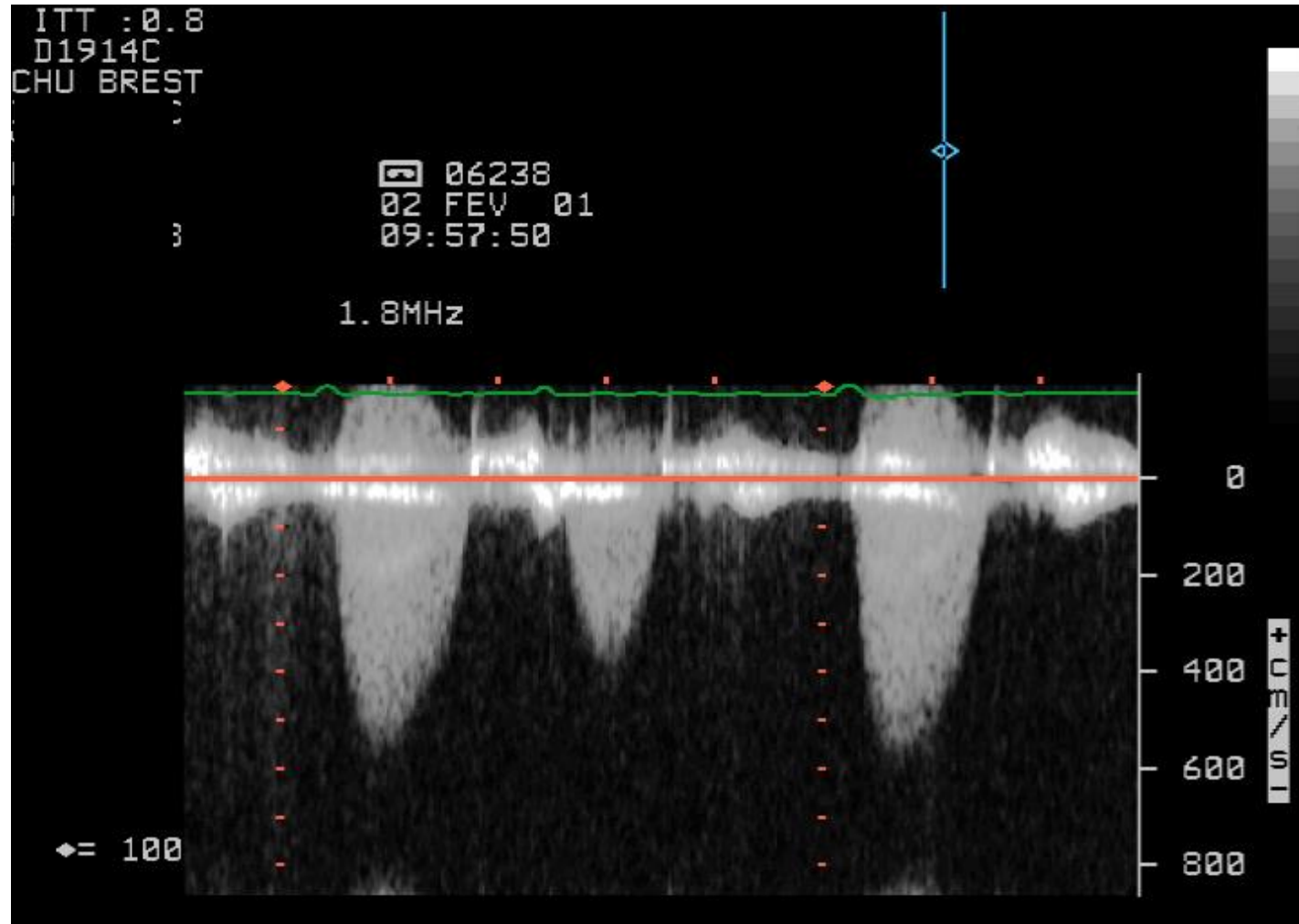
- $\Delta P = 4 V^2$
- **G** max instantané
- **G** moyen
- **G** pic à pic



Limites

- **G moyen dépend du débit**
- **Faisabilité = proche de 100 %**
- **Pièges**
 - **Mauvais alignement du faisceau US**
 - **Hyperdébit : formule $\Delta P = 4 V^2$ non applicable**
 - **AC/FA ou ES**
 - **Mauvaise enveloppe : approximation**
- **Explications des discordances hémo – doppler**
 - **Non simultanée des mesures**
 - **Restitution de pression**

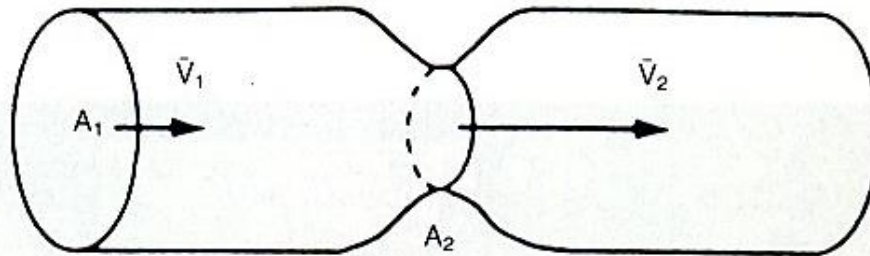
Extrasystole



B - Equation de continuité

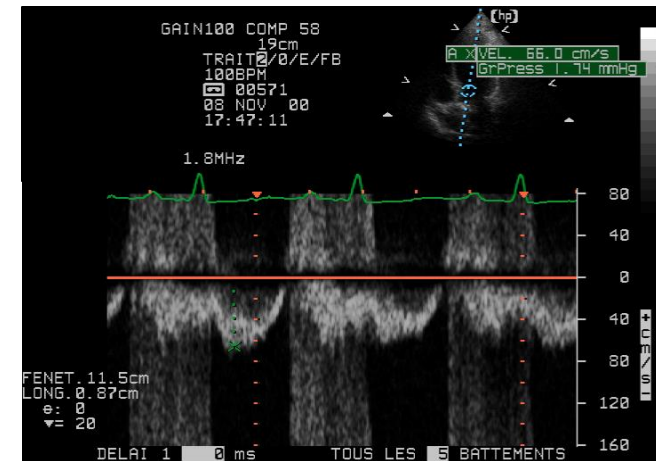
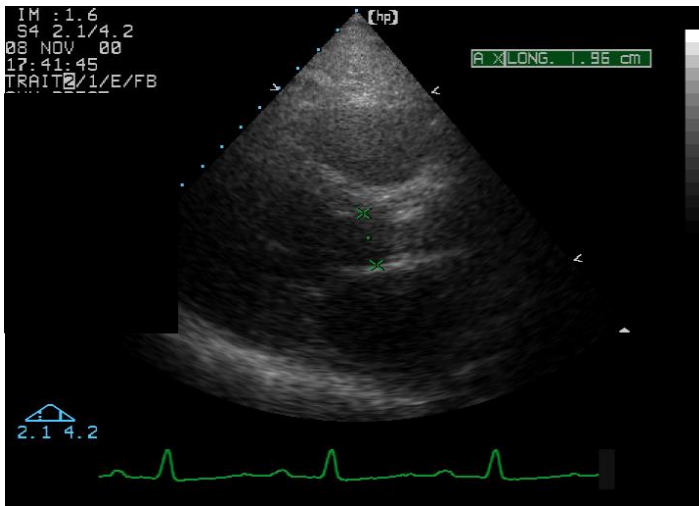
- Cas particulier de la loi de conservation de l'énergie
- $S1 \times V1 = S2 \times V2$

- D'ou $S2 = S1 \times V1 / V2$

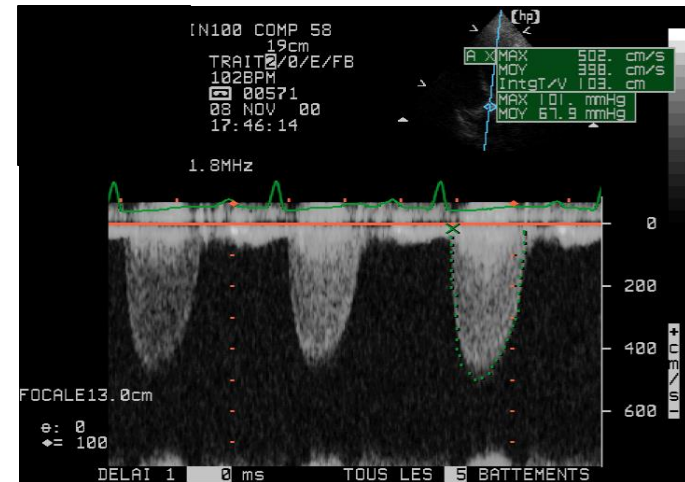


$$Q = A_1 \bar{V}_1 = A_2 \bar{V}_2$$
$$\frac{A_1}{A_2} = \frac{\bar{V}_2}{\bar{V}_1}$$

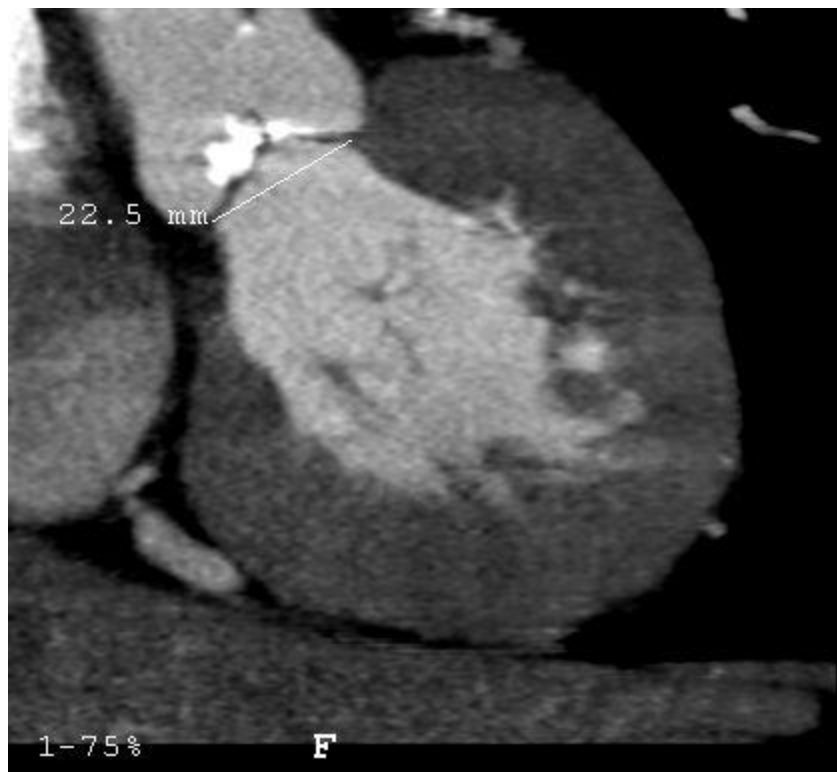
Equation de continuité



- Mesures à effectuer :
 - Diamètre de la chambre de chasse VG
 - Vitesse dans la chambre de chasse VG
 - Vitesse trans aortique



Multislice computed tomography (MSCT)



Diamètre de la chambre de chasse VG

- **Technique**
 - **Par voie PSG, sinus symétriques**
 - **A la base de l'anneau, bord d'attaque à bord d'attaque**
 - **En protosystole, plusieurs mesures**
- **Difficultés**
 - **Mauvaise qualité d'image**
 - **Ca++ du septum ou de la GVM**
 - **Bourrelet sous aortique**

Flux dans la chambre de chasse VG

- **Technique**
 - **Voie apicale 5 cavités**
 - **1 cm sous la valvule**
 - **Flux stable, laminaire**
 - **Plusieurs mesures**
- **Difficultés**
 - **Vitesse plus élevée le long du SIV**
 - **Angulation du faisceau US**
 - **Rythme irrégulier : doppler continu ou moyenne de 10 mesures**
 - **Obstacle sous valvulaire**

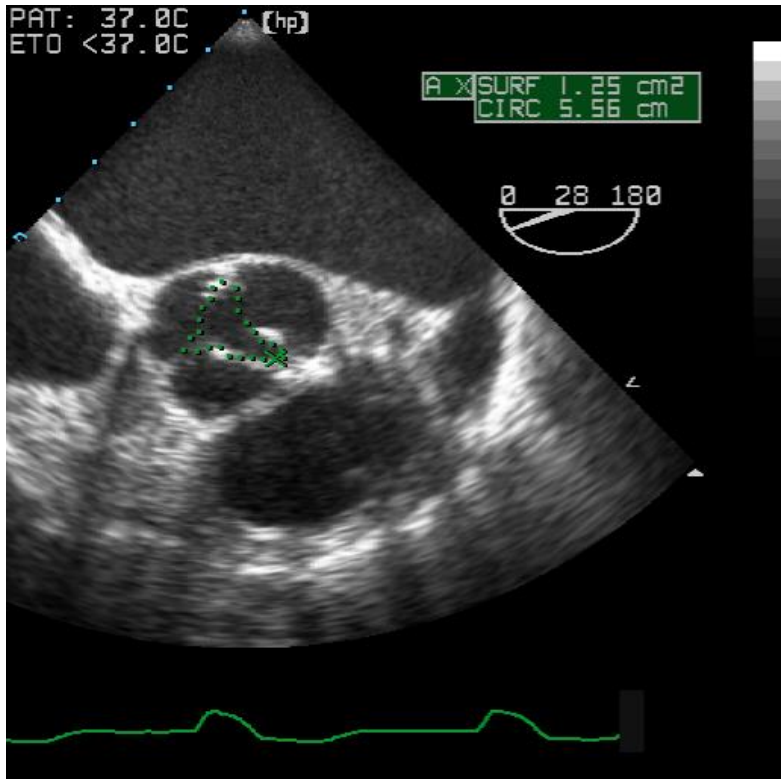
C - Indice de perméabilité

Rapport Vit ss Ao / Vit trans

Ao < 0.25

• Auteur	année	n	r	Se	Sp
• Otto	86	48	NA	97	69
• Oh	88	100	NA	92	68
• Scheublé	87	30	.84	NA	NA

D - Détermination directe de la SAo en ETO

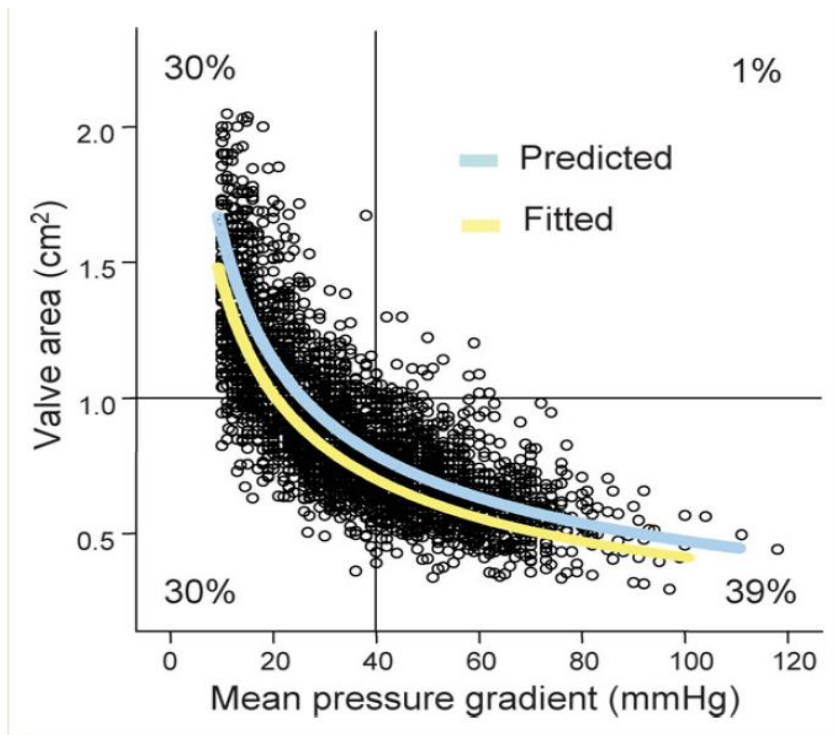


- Orifice petit, irrégulier, contours denses
- Mouvement rapide dans le plan de coupe écho
- Une erreur de 0.25 cm² fait passé 1 RA de moyennement serré à serré

Critères de sévérité

- Pas de consensus
- SAo < 1 cm² - 1 à 1.5 cm² > 1.5 cm²
- V max : > 4 m – 3 à 4 m - < 3 m
- Gradient : > 40 – 25 à 40 - < 25
- 0,4 à 0,6 cm² par m²
- Importance de l'état factuel et des autres données cliniques et paracliniques

Inconsistencies of echocardiographic criteria for the grading of aortic valve stenosis



Consistent grading		Inconsistent grading	
AVA (cm ²)	≥1	AVA (cm ²)	≥1
ΔPm (mmHg)	≤40	ΔPm (mmHg)	>40
<i>n</i>	983	<i>n</i>	29
stroke volume (mL)	79 ± 15*	stroke volume (mL)	107 ± 15*
Inconsistent grading		Consistent grading	
AVA (cm ²)	<1	AVA (cm ²)	<1
ΔPm (mmHg)	≤40	ΔPm (mmHg)	>40
<i>n</i>	997	<i>n</i>	1338
stroke volume (mL)	66 ± 11*	stroke volume (mL)	70 ± 14*

V - Cas difficiles

- **A - Rao en bas débit**
- **Définition : GM < 40 mmHg, Sao < 1 cm², FE < 40 % (Pas de RA serré si gradient < 20)**
- **Tenir compte de la surface**
- **Recherche d'1 réserve coronaire sous dobu de 5 à 20 gammas/kg/mn, paliers de 5 mn tous les 2.5 gammas/kg/mn, arrêt si FC augmente de 10 bpm**
 - **VTI sous-aortique augmente de 20 % = présence d'1 réserve myocardique**
 - **FE VG augmente de 10 %**
 - **Si SAo augmente de 0.3 et SAO finale > 1 cm² il y a 2 maladies**

B- RA et vitesse élevée dans la chambre de chasse

- ETO

